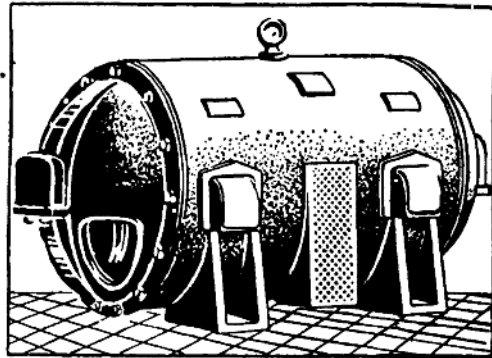


高頻熱處理叢書

第 8 冊

高頻加熱用發電機

[苏联] R. П. 热日林著



科学技術出版社

高頻熱處理叢書

第 8 冊

高頻加熱用發電機

[苏联] P. II. 热日林著

崔思純譯

蔡瀛洲校

科



内 容 提 要

这本小册子叙述了被广泛地应用于金属感应加热装置上的感应式高频发电机結構的主要原理；研究了該型发电机运转的基本特性和与負荷参数相匹配的方法；并对企业中高频发电机的安装及运转作了說明。

这本小册子可供工业部門中將高频电流用在热加工方面的广大工作者参考。

高 频 加 热 用 发 电 机

МАШИННЫЕ ГЕНЕРАТОРЫ ДЛЯ
ВЫСОКОЧАСТОТНОГО НАГРЕВА

原著者：(苏联)Р. П. Кежерин

原出版者：Машгиз 1954年版

译 者：崔思纯

科学 技术 出 版 社 出 版

(上海南京西路 2004号)

上海市書刊出版業營業執照第 079 号

上海市印刷四厂印刷 新华书店上海發行所總經售

*
統一书号：15119·514

開本 787×1092 毫 1/32·印張 1 15/16·字數 41,000

1957年4月第1版

1958年6月第2次印刷·印數 4,001—6,000

定价：(10) 0.30 元

原序

在熔炼、淬火、鍛造、模压、鉆焊及其他热加工中，用于加热金属的許多高頻裝置是由高頻发电机供电的。高頻发电机的結構和制造如果很好，并且能得到妥善的运用，那么此时它是一个很可靠的、很有效的电源。

維护人員对发电机內部發生的現象應該很好地了解，且对电机的各种工作条件能够心中有数，只有这样，电机才能正确地运转和充分发挥其功能。但就工厂使用高頻加热法的实际經驗所知，管理高頻发电机的人員并不总能充分了解发电机的性能。

高頻发电机和工頻为 50 周的标准同步电机相比，一直从工作原理起都具有許多特点。它与感应加热裝置振盪回路并联工作的条件也和标准同步发电机的工作条件根本不同。

但在一般書籍中关于这些問題几乎从来不提，因此就使得維护人員难于認識这类电机的特点。

这本小冊子里叙述了一些現在正在大量推广的高頻发电机方面的基本知識，并介紹了选择电机工作状态的实际方法。

本書的內容是以“B. П. 沃洛格金教授”高頻电流科学研究所和苏联科学院高頻电热試驗室的材料和實驗数据为基础。本書对高頻发电机的近代情况亦作了概述，同时还研究了在調幅深的情况下無損耗無漏磁的理想感应式发电机的理論。

作者特別注意不飽和发电机，并力图闡明对实用很重要的、最一般的感应电机的特性。

作 者

目 录

原序

緒論	1
1. 发电机的基本电工学定律	2
2. 高频发电机的結構	11
3. 感应发电机的基本原理	18
4. 感应发电机的工作特性	28
5. 负荷与发电机的匹配	45
6. 常用的电机及其安装和运转	53

緒論

苏联电力网电流的标准频率是 50 周。較高的頻率，在 10,000 周以下的叫做增高頻率，而高于 10,000 周的叫做高頻率。

感应加热用的增高頻电流可从功率达数百甚至数千千瓦的变頻机取得。

增高頻率的标准現在尚無明确规定，但依据經驗認為适当且广泛采用的有下列几种：500、1,000、2,500、8,000 周。感应加热裝置可由变頻机供电。变頻机是由感应电动机和所謂感应发电机裝于同一机壳內組成，或者由單独的电动机和发电机組成。

本書將着重叙述感应发电机，也可称为“脉动”发电机。

在近代各种技术部門內，感应发电机与其他型式的电机相比已日見重要；它的主要用途是金属感应加热。

最早的各种感应发电机中，有一种就是由杰出的俄国电机师 П. Н. 雅勃罗契科夫設計成的；1877 年他取得这种結構的專利权。1882 年阿列克謝·克里明科又对感应发电机的結構作了进一步的改进。

但設計和制成特式增高頻和高頻发电机的功績应特別归之于 В. П. 沃洛格金教授。他从 1910 年到 1935 年間就創造出不同功率(0.5~600 千瓦)及不同頻率(1,000~60,000 周)的各种电机。这些发电机对于发展我国無綫电技术有着重大影响；其中有几种直到今天还被用作工业裝置的电源。

1. 发电机的基本电工学定律

由机械能变为电能或由电能变为机械能的电机，均由两个相对转动的部分——定子和转子组成。定子和转子间有一空间，称为间隙。一般型式的电机的间隙都很小。例如：感应发电机的间隙仅为0.5~1.5公厘；只有发电厂所用的大型同步发电机，其间隙有时才达数十公厘。

间隙在电机中可以算作一个要紧部分，定子和转子间相互作用的机械力就在这个间隙中表现出来。当使转子转动的外力超过这种作用力时，电机便成为发电机（产生电能）；如由机械力本身使转子转动，则电机便成为电动机。

要使定子和转子之间产生相互作用的力，首先要在间隙中产生磁场。顺便提出，也可以制造不用磁场而用电场的电机，其中也包括高频电机在内。但是这种“静电式”电机由于体积笨重，还没有获得实际的应用。

电机间隙中的磁场可以有两种励磁方法：(1) 永久磁铁；(2) 通电的励磁线圈。高频电机可分为直流励磁式和交流励磁式。但无论哪一式的电机，都可以或用外电源励磁，或用自激方式励磁（自激系由电机本身供电）。下面我们将只讲用直流外电源励磁的电机。

电机内导磁和导电部分统称为作用部分，以别于其余的结构部分。

转子和定子的磁作用部分通常用特种磁钢制成。这些作用

部分与空气隙一起組成一个完整的磁路。

我們要講一講磁路与磁场間的关系(图 1)。

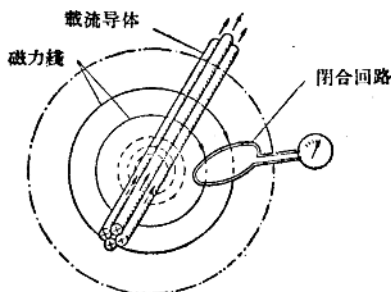


图 1. 载流导体的磁场。

——与伏特表电路耦合的磁力线；

----不与伏特表电路耦合的磁力线。

大家知道，电流通过导体，在它的周围就产生磁场，这导体就好象是磁场的产生源。载流导体束的特征是具有所謂磁动势，磁动势的值决定于导体的根数 w_s 和每根导体中通过的电流 i_s 的乘积。若以 F_s 表示磁动势，则得

$$F_s = i_s \cdot w_s. \quad (1)$$

磁动势的大小以安匝表示。

在磁动势的作用下，载流导体的周围便产生磁通，这磁通可以想像为环绕载流导体的閉合線，磁力線一定圍繞在产生它們的导体周围，而外层磁力線則圍着距载流导体較近的內层磁力線。这样的磁通模型就很明显地表示出磁场的特性，但应注意，这不过是模型。

关于磁场的一个重要概念就是磁感应概念，磁感应的大小取决于磁力線的密度，以字母 B 表示，其計量單位为伏·秒/公尺² 或高斯 ($1 \frac{\text{伏}\cdot\text{秒}}{\text{公尺}^2} = 10^4$ 高斯)。

磁场主要定律之一是磁动势定律，此定律有时称为全流定律。其解說如下：

圍繞在載流导体束周圍的任何一根磁力綫，都由磁动势（等于导体匝数与电流值的乘积）产生[見公式(1)]。另一方面，驅使磁力綫通过每段磁路所需的磁动势 F_i ，是决定于該段磁路的長度 l_i 、磁力綫密度 B_i 及介質的导磁系数 μ_i 。因此

$$F_i = \frac{B_i l_i}{\mu_i}。 \quad (2)$$

磁动势的定律是載流导体周圍的磁动势，它等于各段磁路上驅使磁力綫通过磁路所需磁动势之和。

每根磁力綫的磁动势定律以下式表示之：

$$F_e = \frac{B_1 l_1}{\mu_1} + \frac{B_2 l_2}{\mu_2} + \dots + \frac{B_n l_n}{\mu_n}, \quad (3)$$

式中下标 1、2、3、……n 为磁力綫各段的标志。

上式在某些情况下是不方便的，例如，在磁力綫通过鋼材的情形中，因为导磁系数 μ 將視磁感应强度 B 而定。对于象鋼这一类的材料，应利用磁场强度 H 这一概念，磁场强度的意义是 $\frac{B}{\mu}$ ，故可說 H 是 B 的函数，可利用图表来求得 H 的数值。磁场强度的單位是安匝/公尺²。 B 和 H 間的关系图是根据鋼材試驗結果而繪制的。

利用磁场强度 H ，磁动势定律即可写成下式：

$$F_e = H_1 l_1 + H_2 l_2 + \dots + H_n l_n。 \quad (4)$$

如果載流綫圈如图 2 那样被繞在鋼制导磁体之内，则磁力綫的环形磁路將通过四段磁路——兩次通过鋼材，兩次通过空氣隙。驅使磁力綫穿过長为 δ 的空氣隙磁路的磁动势，可用公式求得：

$$F_s = \frac{B}{\mu_0} \delta, \quad (5)$$

式中: B —空气隙中的磁感应强度, 伏·秒/公尺²; δ —空气隙長度, 公尺; $\mu_0 = 4\pi \cdot 10^{-7}$ —空气的导磁系数, 亨/公尺。

驅使磁力綫通过長为 1 公尺綫段的磁动势, 称为單位磁动势, 它在数值上等于磁场强度 H 。对于鋼材, 該值又与磁感应强度 B 有关。

不同鋼材的單位磁动势与磁感应强度的关系图是各不相同的。这种关系图称为鋼的磁化特性曲綫图。若知道鋼材各段的磁感应强度(磁通量已給定), 就可求得各段的單位安匝数, 再若知道各段磁路的長度, 就可求得各段磁路的磁动势。

如果磁通量所通过的磁路截面为 S , 則磁感应强度

$$B = \frac{\Phi}{S} \text{ 伏·秒/公尺}^2, \quad (6)$$

式中: Φ —單位为伏·秒, S —單位为公尺²。

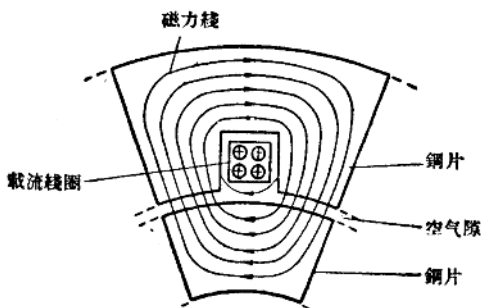


图 2. 基本磁路系統

磁力綫通过磁路各段所需的磁动势 F_1 与磁通量 Φ_1 之比称为該段磁路的磁阻。以 r_m 表示, 写成公式:

$$r_{m1} = \frac{F_1}{\Phi_1} \quad \text{亨}。 \quad (7)$$

磁阻的倒数 $\frac{1}{r_{m1}} = g_{m1}$ 称为該段磁路的磁导。

励磁繞組置放的位置隨电机的型式而定，或是放在定子內，或是放在轉子內。励磁繞組放在槽內距間隙較近的地方，使其磁力綫能通過間隙而在槽的周圍形成一閉合磁路。除励磁繞組外，电机內还有工作繞組，它們是安放在另外的槽內。

电流通过工作繞組时正象通過励磁繞組一样，也产生磁动勢。如果考察一下在电机轉動時的閉合磁力綫，就可相信，大部分的磁力綫总是同时圍繞在励磁繞組和工作繞組的導線周圍；就是說，这些磁力綫是由兩個繞組的合成磁动勢而产生的。工作繞組所产生的磁动勢有时称为反磁动勢。

仅圍繞在一个繞組上的磁力綫称为漏磁通，它們在电机能量变换过程中是不起有功作用的。

第二个非常重要的定律是感应定律，电机就是根据它来制成的。感应定律是說明磁力綫(磁通)与导电回路相耦合时所发生的情况。

我們試想象，有一束載流导体——磁动勢源——产生出磁通來，磁通的一部分穿过閉合的导电回路(图 1)。这个閉合同路就与导体束所产生的部分磁通相交連。根据感应定律：当穿过閉合同路的磁通变化时，即穿过閉合同路的磁力綫數量改变时，回路中將感应出电动势來，电动势 e 的大小，决定于磁通变化的快慢(速率)和工作繞組的匝数 w_p ：

$$e = - \frac{\Delta \Phi}{\Delta t} w_p, \quad (8)$$

式中： $\Delta \Phi$ ——在 Δt 時間內磁通量的变化；負号表示只有磁通減

小而不是增大时 e 值才是正值。

在闭合回路中，不但外部磁通穿过时的变化能感应出电动势，就是它本身所产生的磁通在变化时亦能感应出电动势，例如在导体中通过交流电时。

电机内的转子旋转时，工作绕组与励磁绕组间的磁耦合也随之改变。这就是工作绕组内能感应出电动势的原因。

励磁绕组在电机间隙内所产生的磁场，能使转子的表面上引起一种将转子“拉向”定子的机械力。若转子处在对称位置时，这种力只是将转子均匀地拉向各方。间隙内磁场若是由两个绕组——励磁绕组和工作绕组所产生且工作绕组内通以有功负荷电流时，则磁力线的方向就如前述与半径方向一致，而偏转某一角度。因此在转子表面上将出现一种使转子旋转的力，即有效力。在它的作用下，电机内即进行能量的变换。

为了表示按正弦律随时间而变化的磁值和电值，在电机学中采用向量表示法或符号表示法。根据这种方法，假如有一个电压

$$u = U_m \sin(\omega t - \varphi), \quad (9)$$

就可用向量来表示它的正弦值。取正弦电压的振幅 U_m 作为向量的长度，并假定这个向量按反时针方向绕着平面上原点 O 匀速旋转(图 3)。此向量在固定轴 OY 上的投影，就将按正弦律随时间而变化。实际上，一般所关心的只是正弦值的振幅 U_m 和初相角 φ ，而不是瞬

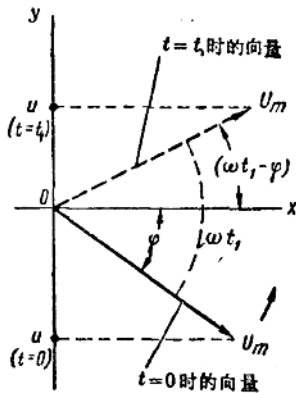


图 3. $t=0$ 和 $t=t_1$ 时的向量 u

时值 u 。当 $t=0$ 时，正弦波的初相角在图上是以向量和垂直于 OY 轴的 OX 轴间所夹的角来表示。以向量来表示正弦值的图，称为向量图。

在电工学中最常用向量来表示正弦电流和电压。向量表示法方便之处是，能够很明显地对比出数个同一性质的振幅和不同值的相位，例如电流和电压的相位，从而确定出相位差。正弦电压和电流间的相位差，在向量图上可用相应的电压和电流向量间的夹角来表示。

向量表示法只适用于频率相同的电流、电压和其它量值的比较。用此法很容易求得几个正弦值的和或差，即按几何的向量合成方法求出平行四边形的对角线或开口多角形的封闭边。

各向量在向量图上不仅可从一原点引出来表示，且尚可认为比较方便时将其平行地移至图上任意一点来表示。如图 4a，

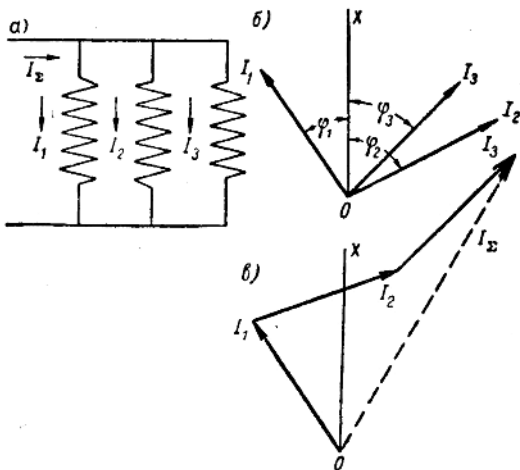


图 4. 在三株平行支路中交流电流 I_1, I_2, I_3 的向量

是一个具有三条支路的电路图，三交流电流分别沿着这三条支路流向共同点 A。图 46 为上述三电流的向量图，可用以比較各电流的振幅及相位。图 4B 是用另一种方法表示上述三电流的向量图，用該图可以很容易地求出各向量的和。

采用向量表示法又可將电路中的一作用电流分解成若干电流成分。电路中一作用电流有时可用兩电流成分来代替。其一与电路中的电压同相，另一与电压成 90° 角。前一种电流成分称为有功电流，而后一种称为無功电流。如果無功电流的向量依反时針方向比电压向量轉过 90° 角，称為超前电流。如果依順時針方向轉过 90° 角，则称为滞后电流。水变阻器內的电流，一般可作为純有功电流之一例，导納也可認為是純电导。綫繞变阻器內的电流在頻率达 $2,500 \sim 8,000$ 周时，就有無功成分的电流，因为一般構造的变阻器都有相当的电感。电导以 g 来表示。

在电容器的电容綫路中所流过的电流可認為是純無功的超前电流(或电容电流)。电容器的容納以 b_c 表示，且 $b_c = \omega C$ ，此处 C 为电容，其單位为法拉； $\omega = 2\pi f$ (f ——頻率，單位为周)； b_c 通常視為正值。

若在电感綫圈內沒有能量損耗，則其中流过的是純無功的滞后电流。

实际上，在綫圈內除了無功电流(电感电流)以外，还有有功电流，后者是表現为发热現象的能量損失指标。

綫圈或其他裝置的感納以 b_L 表示， $b_L = \frac{1}{\omega L}$ 。此处 $\omega = 2\pi f$ ， L ——电感，亨利； b_L 通常視為負值。

在具有电导 g_n 和正或負电納 b_n 的兩条支路所組成的电路中(图 5)，电路的等效导納

$$y_n = \sqrt{g_n^2 + b_n^2}。 \quad (10)$$

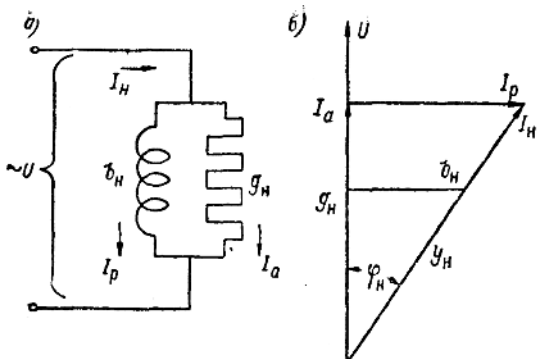


图 5. I_a 和 I_p — 电流的有功成分及無功成分

这样的电路中的电压和电流間的相角, 决定于下式:

$$\operatorname{tg} \varphi_n = \frac{b_n}{g_n}, \quad (11)$$

由此可得

$$g_n = y_n \cos \varphi_n, \quad (12)$$

$$b_n = y_n \sin \varphi_n. \quad (13)$$

如果电路是由具有电导 g_L 、感納 b_L 和容納 b_c 三条支路所組成, 則將 $(b_c - b_L)$ 代入上面公式中的 b_n , 就可求出 y_n 及 φ_n 。

在电流向量图上的各个向量, 都可按导納的比例来測量。这时要將各支路的电流除以各支路的共同电压。于是得出的就不是电流向量图, 而是导納向量图了。这样就可把导納值看作向量值。因此, φ_n 角也可以称为导納 y_n 的相角。

电路中的导納 y_n 有时又可以改成它的倒数 $z_n = \frac{1}{y_n}$ 来討論, z_n 称为电路的阻抗。阻抗 z_n 又可看作电阻

$$r_n = z_n \cos \varphi_n \quad (14)$$

$$x_n = z_n \sin \varphi_n \quad (15)$$

串联的结果。这里应特别注意， r_n 不等于 $\frac{1}{g_n}$ ； x_n 不等于 $\frac{1}{b_n}$ 。

电路中有线圈或其他电感元件时，可用电桥来测得线圈的电阻 r_n 和电感 L ，于是电抗 $x_n = \omega L$ 也可求得。线圈的导纳含有如下两个成分：

$$\text{电导 } g_n = \frac{r_n}{r_n^2 + x_n^2}, \quad (16)$$

$$\text{感纳 } b_n = \frac{x_n}{r_n^2 + x_n^2}. \quad (17)$$

导纳 y_n 的概念适用于由几个并联支路组成的电路；而它的倒数——阻抗 z_n 的概念，则用于由几个串联支路组成的电路比较方便。

2. 高频发电机的结构

只有频率不超过 1,000 周、功率不小于 500 千伏安的高频发电机才能根据具有凸极转子励磁的同步发电机的构造原理来制造。当功率更小和频率更高时，由于转子上相邻磁极间的间隙过小，所以使用这种结构的可能性就受到了限制。因而难以将励磁绕组放入转子内。

感应发电机与标准同步发电机不同，它并不受上述的限制。标准同步发电机内的励磁绕组和工作绕组绕在电机的不同部分上，一个绕在定子上，另一个绕在转子上，这样，当电机运转时，两绕组就相对地位移；在感应发电机内的这两绕组之间是永远没有相对运动的，通常把它们放在定子上，而在转子上是不放任何绕组的。

感应发电机的结构式样有多种。首先可根据励磁绕组放置的位置不同，将它们分为两类。第一类：励磁绕组放在定子槽

內，并且它們不環繞轉子的軸線，这类称为分段磁路式。励磁繞組所产生的磁通跨越兩段之間而成閉合回路，如图 6 所示。沿定子內表面一周极性的改变次数相当于定子励磁繞組槽数目，在这种情况下，每一段即是一极。这种发电机的轉子是用 0.2~0.35 公厘厚的电机矽鋼片疊成。

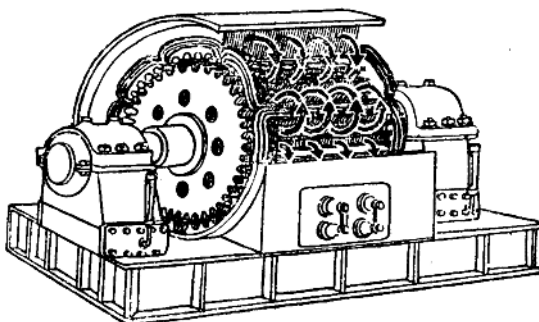


图 6. 分段磁路式感应发电机。箭头表示激励磁通的方向。

第二类：发电机的励磁繞組是成环狀繞着轉子的軸線，故可称为环形磁路式。这类发电机一般是由两个或数个用鋼片疊成的定子組成，并压入鋼或鑄鐵制的实心体壳內(图 7)。轉子通常是用一整块鋼制成，轉子的周圍沿軸向銑成許多槽；有时为了减少同空气的摩擦，再用非磁性材料(如鋁)把槽填滿。环形励磁繞組是放在两定子之間的縫隙內。在此情况下，激励磁通从一个定子通过轉子和外壳到另一个定子而閉合。每个定子周圍內表面的极性总是不变的，并且相鄰两定子的极性总是相反。

感应发电机轉子的表面为齒狀(图 8)。轉子齒頂的寬度約为齒距的 40%。齒間凹槽的底常成圓形，槽深一般不超过槽寬。

为了解感应发电机的作用原理，現在我們假定定子上的齒